

بررسی تاثیر آندایزینگ در افزایش مقاومت به خوردگی آلیاژهای آلومینیوم هوائی و دریائی

علی یزدانی^{۱*}، آرمان زارعی^۲

۱. دانشگاه صنعتی مالک اشتر

۲. گروه شناورهای اثر سطحی، سازمان صنایع دریایی

تاریخ پذیرش: 89/7/27

تاریخ دریافت: 89/3/9

چکیده

با توجه به کاربرد روز افرون آلیاژهای آلومینیوم در صنایع مختلف، لزوم اعمال عملیات سطحی مناسب جهت افزایش مقاومت به خوردگی آنها اجتناب ناپذیر است. در این میان به دلیل استفاده شدن عناصر خاص در بعضی از گروه های آلیاژی (آلیاژهای گروه 2000 و 7000)، مشکلات خوردگی آنها نیز حادتر است. پوشش های مختلفی در این زمینه استفاده می شود. در محیط های دریائی و دیگر مناطق با رطوبت بالا، اعمال پوشش آندایزینگ، بهترین روش جلوگیری از خوردگی ورقه ای شدن آلیاژهای آلومینیوم است. در این تحقیق تاثیر دانسیته جریان های متفاوت ($\frac{A}{dm^2}$ و $\frac{1/6}{dm^2}$) و اهمیت آب بندی، در افزایش مقاومت به خوردگی پوشش های آندایزینگ آلیاژهای T6-2024، T3-6061 و H34-5083 بررسی شده است. نتایج بیانگر اهمیت میزان دانسیته جریان و پروسه ای آب بندی در افزایش مقاومت به خوردگی پوشش های آندایز است.

*نویسنده مسؤول مقاله، پست الکترونیک: ailyazdani165@yahoo.com

واژگان کلیدی: آندایزینگ، خوردگی، آلومینیوم، هوایی، دریایی

جهت حفاظت از خوردگی آنها را مشخص می کند (Davis, 1999; Deluccia, 1993). پوشش های مختلفی از جمله بوهمیت (C. Vargel, 2004)، فسفاته (Twite, 1998)، روی، سل-ژل (Voevodin, 2001; Wang, 2009)، کروماته، آلكلد (Twite, 1998) و آندایزینگ (Petroyiannis, 2005) در زمینه آلومینیوم مطرح شده اند، که در این میان به دلیل مقاومت به خوردگی پائین، مسائل اقتصادی، تخریب های زیست محیطی و جدید بودن، تنها تعداد محدودی از آنها هم اکنون در صنعت استفاده می شوند.

در میان تمامی پوشش های محافظت در برابر خوردگی، پوشش کروماته به عنوان یکی از بهترین پوشش ها جهت حفاظت آلیاژ های آلومینیوم مورد تأیید بوده و کاربرد گسترده پیدا کرده است. تاکنون تحقیقات گسترده ای بر روی تأثیر عوامل مختلفی چون آماده-سازی (Campestrini, 2001)، شرایط حمام و چگونگی عملیات کروماته کردن (Zhao, 2001) صورت گرفته است، اما طبیعت سمی و سرطان زای یون کروم 6 ظرفیتی (Cr^{6+}) موجب شده است تا سازمان های حفاظت از محیط زیست و سازمان بهداشت جهانی استفاده از این پوشش در صنایع مختلف را تا حد زیادی محدود کنند. این امر لزوم تحقیق برای یافتن جایگزینی مناسب برای پوشش مذکور را به وضوح نشان می دهد (Yu, 2003).

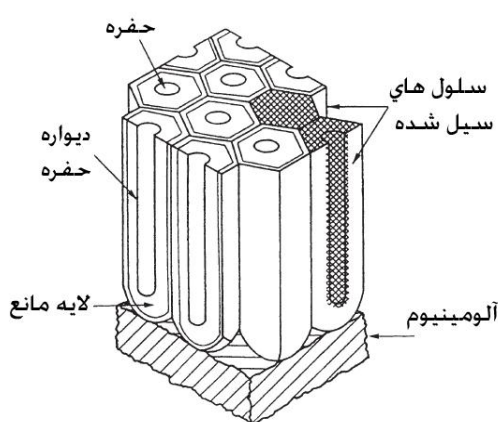
1. مقدمه

آلومینیوم و آلیاژ های آن به طور گسترده ای در صنایع مختلف به کار می روند (Van Horn, 1990). این آلیاژ ها به دلیل دانسیته پائین، هدایت حرارتی بالا و خواص الکترومغناطیس، در صنایع هواپما قطعات کامپیوتر و سایر صنایع کاربرد فراوانی دارند. آلیاژ های آلومینیوم به طور کلی به 8 گروه مختلف تقسیم بندی می شوند که از آلیاژ سازی آلومینیوم با عناصر دیگر از جمله مس، منیزیم، منگنز و غیره تولید می شوند. در این میان آلیاژ های 2024 از گروه 2xxx و 7075 از گروه 7xxx در صنایع هوایی، و آلیاژ های 6061 از گروه 6xxx و 5083 از گروه 5xxx در صنایع دریائی کاربرد زیادتری دارند. در آلیاژ های آلومینیوم هوایی T6-7075 و 2024-T3، مس با تشکیل فاز های بین فلزی در حین عملیات حرارتی، یک عامل اساسی استحکام بخشی این آلیاژ ها محسوب می شود از طرفی تشکیل پیل گالوانیکی بین رسوبات غنی از مس (مثلاً Al_2CuMg) و زمینه، سبب ایجاد خوردگی موضعی در این آلیاژ ها می شود. آلیاژ های دریایی 6061-T6 و 5083-H34 آلومینیوم مقاومت به خوردگی بهتری دارند.

استفاده گسترده از آلیاژ های آلومینیوم در صنایع مختلف، لزوم اعمال عملیات سطحی مناسب

بر اساس آن تمام روش های آب بندی، مقاومت به خوردگی آلیاژهای آندایز شده را تا اندازه ای افزایش می دهند. Gonzalez گزارش کرده که حتی در محیط های به شدت خورنده، آب بندی با آب جوش سبب افزایش زیاد مقاومت به خوردگی آلیاژها می شود (Gonzalez, 2002).

بر اساس استاندارد میلیتاری انواع مختلفی از پوشش آندایزینگ وجود دارد که عبارتند از: آندایزینگ نوع اول (I)، آندایزینگ نوع دوم (II) و آندایزینگ سخت یا نوع سوم (III). تفاوت انواع پوشش های آندایزینگ در نوع محلول الکترولیت و شرایط انجام عملیات پوشش دهی می باشد. پوشش آندایزینگ نوع اول در وان محتوى محلول الکترولیت اسید کرومیک انجام می شود و پوشش های آندایزینگ نوع دوم و سوم با استفاده از محلول اسید سولفوریک انجام می شوند همچنین الکترولیت مورد استفاده می تواند اگزالیک اسید باشد. تفاوت پوشش های آندایزینگ نوع دوم و سوم در دمای عملیات و دانسیته جریان اعمالی می باشد. در جدول 1، شرائط پوشش آندایزینگ نوع دوم آورده شده است.



شكل 1. شماتیک ساختار پوشش آندایز ایجاد شده در محلول اسیدی.

همانطور که ذکر شد، یکی دیگر از روش های کاهش خوردگی آلیاژهای آلومینیوم، آندایزینگ است. آندایزینگ آلومینیوم یک پروسه الکترو شیمیائی است که کاربردهای گسترده زیادی دارد از جمله افزایش مقاومت به خوردگی، افزایش مقاومت به سایش، بهبود ظاهر، افزایش قدرت تشعشع و افزایش چسبندگی رنگ (Brace, 1979).

پوشش آندایز یک پوشش سرامیکی آلومینا (Al_2O_3) می باشد که به کمک پلاریزاسیون آندی سطح آلومینیوم در محلول های اسیدی مختلف ایجاد می شود که بسته به نوع فرآیند آندایز، مقاومت به خوردگی آلومینیوم را به مقدار قابل توجهی افزایش می دهد (Huang, 2008). در محیط های دریائی و دیگر مناطق با رطوبت بالا، آندایزینگ، بهترین روش جلوگیری از خوردگی ورقه ای آلیاژهای آلومینیوم است (Lopez, 2002). این نوع پوشش می تواند جایگزین مناسبی برای پوشش مقاوم کروماته باشد. از آنجا که لایه آندی ایجاد شده در محیط اسیدی بر روی سطح آلومینیوم ساختاری متخخل دارد (شکل 1)، لازم است که قبل از بکارگیری این پوشش، حفرات مذکور سیل شود. عملیات سیل کردن در حقیقت به این معنی است که اکسید آلومینیوم با مولکول های آب ترکیب شده و $\text{Al}_2\text{O}_3 \cdot \text{H}_2\text{O}$ تبدیل شود که با افزایش حجم همراه بوده و موجب بسته شدن دهانه حفرات می شود. این عملیات توسط محلول های مختلفی نظیر آب جوش، دی کرومات، استات نیکل، اسید استئاریک و فلورئید نیکل استفاده می شود. در این میان آب جوش مرسوم ترین، به صرفه ترین و رایجترین روش مورد استفاده می باشد.

یک بررسی کلی بر انواع تکنیک های آب بندی توسط Cheng و Hao (2000) صورت گرفته است که

2. مواد و روش کار

در این تحقیق مقاومت به خوردگی آلیاژهای آلمینیوم هوانی 7075-T6، 2024-T3 و 5083-H34 در آلیاژهای دریائی T6-6061 و 5083 در حالت بدون پوشش و آندایز شده بررسی شده است. ترکیب شیمیایی اسمی آلیاژها مصرفی در جدول 2 آورده شده است. جهت بررسی مقاومت به خوردگی آلیاژهای فوق، نمونه ها در ابتدا بر طبق استاندارد MIL8625F آندایزینگ نوع دوم شدند و سپس طبق استاندارد ASTM B 117 با تست پاشش مه نمک مورد بررسی خوردگی قرار گرفته اند. چون فرم پوشش آندی تشکیل شده با تغییر دانسیته جریان تغییرمی کند و این مسئله در مقاومت به خوردگی آلیاژها موثر است، عملیات آندایزینگ در دو دانسیته جریان مختلف انجام شده که در هر حالت نیز تعدادی از نمونه ها در حالت آب بندی مورد بررسی قرار گرفته است.

جدول 2. ترکیب شیمیایی اسمی آلیاژهای 7075، 2024 و 5083 و 6061 (درصد وزنی).

نوع آلیاژ	7075	2024	6061	5083
Si	0/40	0/50	0/40-0/8	0/40
Fe	0/50	0/50	0/7	0/10
Cu	1/2-2/0	3/8-4/9	0/15-0/4	0/40-1/0
Mn	0/30	0/30-0/9	0/15	4/0-4/9
Mg	2/1-2/9	1/2-1/8	1/2-0/8	3/5-4/5
Cr	-0/28	0/10	0/04-0/4	0/04-0/4
Zn	5/1-6/1	0/25	0/25	0/25
Ti	0/20	0/15	0/15	0/15
AL/%	باقیمانده	باقیمانده	باقیمانده	باقیمانده

در زمینه عوامل موثر بر آندایزینگ از جمله، دما (Hsing, 2000)، اسید مصرفی (Aerts, 2007) دانسیته جریان (Aerts, 2007)، ریزساختار و خواص مکانیکی پوشش های آندایز (Forn, 2007)، تحقیقات زیادی انجام شده است. همانطور که ذکر شد، یکی از خواص مهم این نوع از پوشش ها، بحث بهبود مقاومت به خوردگی آن ها است. در این مقاله تاثیر نوع آلیاژ فلز پایه، دانسیته جریان اعمالی و پروسه ای آب بندی، بر مقاومت به خوردگی تعدادی از آلیاژهای آلمینیوم بررسی شده است.

جهت بررسی مقاومت به خوردگی مواد، تست های مختلفی وجود دارد که با توجه به شرائط کارکرد قطعه تعیین می شود.

جدول 1. شرایط انجام عملیات آندایزینگ نوع دوم (II)

محلول الکترولیت اسید سولفوریک 15٪	
21±1°C	درجه حرارت
60 دقیقه	زمان انجام عملیات
1/2-2/40 $\frac{A}{dm^2}$	دانسیته جریان
24 V	ولتاژ

از این میان تست های خوردگی امپدانس الکتروشیمیایی و پاشش مه نمک، تست های معمولی هستند که در تحقیقات بیشتر به کار می روند. در این تحقیق تاثیر دانسیته جریان های متفاوت (A/dm^2) و اهمیت آب بندی، در افزایش مقاومت به خوردگی پوشش های آندایزینگ نوع دوم در آلیاژهای 7075-T6، 2024-T3 و 5083-H34 بر طبق استاندارد ASTM B 117 پاشش مه نمک، بررسی شده است.

2024-T3 به مدت 38 دقیقه و بقیه آلیاژها به مدت 32 دقیقه در حمام اسیدسولفوریک قرار داده شده اند. قبل ذکر است که دانسیته جریان های فوق پس از آزمایش بر روی تعدادی از نمونه ها و مطالعه و بررسی بر روی شرایط پوشش حاصل از اعمال دانسیته جریان های مختلف انتخاب شدند. نمونه های آندازی شده در دو حالت آب بندی و بدون آب بندی تست خوردگی شده اند. آب بندی در دمای 88°C آب داغ به مدت زمان 20 دقیقه انجام شده است. تمامی نمونه ها بوسیله دمچه هوا خشک شده و در نقاط مختلف ضخامت پوشش آنها اندازه گیری و سپس در دسیکاتور قرار داده شدند. تست های بررسی اثر و رفتار خوردگی براساس استاندارد ASTM B 117 انجام گردیدند. محلول نمک مورد نظر برای انجام تست بصورت 5 حجم کلریدسیدیم در 95 حجم آب تهیه شد. فشار هوای دمیده شده در دستگاه تست پاشش مه نمک در حدود 25Psi-10 و درجه حرارت انجام تست در محدوده $35 \pm 3^{\circ}\text{C}$ قرار داده شد. PH محلول نمک در محدوده 6-7/2 در نظر گرفته شد. با افزایش هیدروکسیدسیدیم (0/01N) مقدار PH را در صورت نیاز افزایش می دادیم تا مقدار PH در محدوده فوق باقی بماند.

نتایج حاصل از بوجود آمدن حفرات پس از انجام تست پاشش مه نمک با استاندارد 8625F مطابقت داده شدند. براساس استاندارد MIL 8625F تعداد حفره های مجزای بوجود آمده بر روی قطعات باید دارای شرایط زیر باشند:

الف) نمونه های تست شده نباید بیشتر از 15 حفره جداگانه در مجموع 968 cm^2 (150in²) از تعداد 5 نمونه و یا تعداد بیشتر نمونه های تست شده داشته باشند و قطر هیچ کدام از این حفره ها نباید

با توجه به استانداردها و اهداف مورد نظر تست، تعداد 25 نمونه از هر آلیاژ به ابعاد $(4" \times 4" \times 0/04") (10/2 \times \text{cm}0/2 \times \text{cm}0/1\text{cm})$ تهیه شد است. سطح نمونه ها با استفاده از حلال های مناسب کاملاً از چربی ها و آلودگی های سطحی پاک شده و بعد از شستشو با آب مقطر، نمونه ها خشک شده اند.

تعداد 20 نمونه از هر گروه از آلیاژها در حالت آندازی و 5 نمونه بدون آندازی تست خوردگی شده است. عملیات آندازینگ نوع II، در دمای 21°C تحت دو دانسیته جریان مختلف انجام شده که نهایتاً ضخامت پوشش $18\mu\text{m}$ به دست آمده است. ASTM B244 ضخامت پوشش ها بر طبق استاندارد توسط دستگاه ضخامت سنج جریان گردابی اندازه گیری شده است. عملیات آندازینگ نمونه ها در تانک محلول محتوى 2 g/l 190 ± 2 اسیدسولفوریک انجام شده است. برای دستیابی به پوششی مطلوب، محلول الکترولیت پیش از هر عملیات آندازینگ آنالیز می گردید. همانطور که بیان شد آندازینگ در دو شرائط مختلف زیر انجام شده است:

حالت (1)

در این حالت عملیات آندازینگ تحت دانسیته جریان $\frac{A}{dm^2} 2/6$ انجام گرفت که در این حالت برای رسیدن به ضخامت پوشش $18\mu\text{m}$ ، نمونه های آلیاژ 2024-T3 به مدت 22 دقیقه و بقیه آلیاژها به مدت 20 دقیقه در حمام اسیدسولفوریک قرار داده شده اند.

حالت (2)

در این حالت عملیات آندازینگ تحت دانسیته جریان $\frac{A}{dm^2} 1/6$ انجام گرفت که در این حالت برای رسیدن به ضخامت پوشش $18\mu\text{m}$ ، نمونه های آلیاژ

3. نتایج

جهت بررسی و مقایسه نمونه‌های آندایز شده با نمونه‌های بدون پوشش، تعداد پنج نمونه از هر آلیاژ نیز بر اساس استاندارد ASTM B 117 تحت عملیات تست پاشش نمک قرار گرفتند. نتایج تست پاشش نمک آنها در جدول 3 آورده شده است (از هر آلیاژ 5 نمونه).

با بررسی نتایج تست پاشش نمک بر روی نمونه‌های بدون پوشش مشخص شد که آلیاژ 5083 بدون پوشش، مقاومت به خوردگی بسیار خوبی دارد. در سایر نمونه‌های آلیاژی در مدت زمانی کمتر از 336 ساعت 3 حفره بوجود آمد، بنابراین با توجه استاندارد مقاوم به خوردگی نیستند. البته آلیاژ 6061 شرایط مطلوب‌تری را نشان می‌داد. با بررسی نتایج مشخص می‌شود که نمونه‌های آلیاژی 2024 و 7075 به هیچ عنوان شرایط مطلوبی از لحاظ مقاومت به خوردگی ندارند و اگر در اتمسفر دریایی و محیط خورنده قرار بگیرند باید حتماً پوشش مناسب بر روی آنها ایجاد شود. نتایج تحقیقات انجام شده توسط شانگینگ سان و همکارانشان در مورد خوردگی اتمسفری آلیاژهای 2024 و 7075 در محیط‌های صنعتی، شهری و دریایی نیز حاکی از مقاومت به خوردگی پائین‌این آلیاژها در اتمسفر دریایی است. (Shuangqing Sun, 2009)

جدول شماره 3. خلاصه نتایج تست پاشش نمک بر روی نمونه‌های آلیاژی بدون پوشش

نوع آلیاژ	میانگین زمان ایجاد 3 حفره برروی نمونه‌ها در تست پاشش نمک (ساعت)
2024-T3	15
5083-H34	تا 2230 ساعت مشاهده نشد

بزرگتر از $0/031\text{in}^2$ ($0/2\text{cm}^2$) باشد. مناطقی با فاصله $0/4\text{cm}^2$ ($0/062\text{in}^2$) از مناطق لبه‌ها و محله‌هایی که اثر تماس الکتروودها بعد از انجام آندایزینگ باقی مانده‌اند باید از کل سطح اصلی حذف شوند. ب) نمونه‌های تست شده در مجموع 194cm^2 (30in^2) از تعداد یک یا چند نمونه تست شده باید بیشتر از پنج حفره جداگانه با قطر بیشتر از $0/4\text{cm}^2$ داشته باشند. مناطقی با فاصله $0/2\text{cm}^2$ مناطق لبه‌ها و محله‌هایی که اثر تماس الکتروودها بعد از عملیات آندایزینگ روی آنها باقی مانده است، باید حذف بشوند. قابل ذکر است که با توجه به استاندارد MIL-8625F حفره به ناحیه‌ای از محل خوردگی موضعی که عمقی بزرگتر از پهنا داشته باشد اطلاق می‌گردد. در تحقیق انجام شده، سطح هر کدام از نمونه‌هایی که در معرض عملیات آندایزینگ قرار گرفته‌اند منهای لبه‌ها، 97cm^2 (15in^2) می‌باشد و برای داشتن مقاومت خوردگی مطلوب و مورد قبول باید بیشتر از 3 حفره وجود نداشته باشد. بر طبق استاندارد MIL-8625F جهت داشتن شرائط مقاومت به خوردگی قابل قبول، باید نمونه‌هایی که تحت شرایط پاشش نمک مطابق استاندارد ASTM B 117 قرار گرفته‌اند تا مدت زمان 336 ساعت شرایط الف و یا ب که در بالا توضیح داده شد را تامین نمایند. با توجه به ابعاد نمونه‌های تست، بر طبق استاندارد (MIL-8625F) اگر در نمونه‌های تست شده در مدت زمان 336 ساعت تعداد سه حفره جداگانه تشکیل نشود آن نمونه‌ها مقاوم به خوردگی هستند، اما برای بررسی دقیقتر رفتار خوردگی تلاش شد تا برای مدت زمانی طولانی‌تر نمونه‌ها تحت تست پاشش نمک قرار بگیرند و مدت زمان تست پاشش نمک به سه ماه (2230 ساعت) افزایش یافت.

		نشد.
2	آب بندی نشده	50

6061-T6	315
7075-T6	30

خلاصه نتایج تست پاشش نمک بر روی نمونه‌های آندازی‌بینگ شده آلیاژ T3-2024 در جدول 5 آورده شده است. همان‌گونه که مشخص است تمام نمونه‌های آب بندی نشده در 25 ساعت بیش از 3 حفره در آنها دیده شد، بنابراین از نظر استاندارد مقاومت به خوردگی مناسبی ندارند و در واقع آب بندی کردن یک مسئله بحرانی و ضروری در مورد پوشش‌های آندازی‌آلیاژ‌های 2024 می‌باشد. در مواردی که نمونه‌ها آب بندی شده‌اند مقاومت به خوردگی آنها افزایش یافته و تمامی نمونه‌ها و تحت هر دو شرایط انجام عملیات آندازی‌بینگ، به مدت زمان 336 ساعت مشکلی نداشتند. نمونه‌هایی که تحت دانسیته جریان $\frac{A}{dm^2} 1/6$ آندازی و آب بندی شده بودند، پس از مدت زمان 1330 ساعت از نظر استاندارد مردود بودند، در حالی که نمونه‌های آندازی شده تحت شرایط 1 یعنی با دانسیته جریان $\frac{A}{dm^2} 2/6$ تا مدت زمان 2230 ساعت نیز هیچ‌گونه مشکلی نداشتند.

آلیاژ با درصد بالای مس 2024، یکی از آلیاژ‌های است که آندازی آن بسیار مشکل است. در آندازی این آلیاژ در ضخامت‌های بالا، اکسیژن یکی از عوامل ایجاد ترک خوردگی لایه آندازی (Dimogerontakis, 1998) و پائین آمدن مقاومت به خوردگی آن می‌باشد. ممکن است آندازی‌بینگ تحت دانسیته جریان پائین، سبب ایجاد ترک در پوشش شده و مقاومت به خوردگی آنرا کاهش داده باشد.

همانطور که ذکر شد، آلیاژ 7075 آلمینیوم، به دلیل اختلاف پتانسیل شدید بین ترکیبات بین فلزی Fe, Cu و زمینه، به شدت مستعد خوردگی حفره‌ای شدن هستند (Andreatta, 2004) بنابراین در این گروه از آلیاژ‌ها نیز آب بندی بعد از آندازی‌بینگ از اهمیت زیادی برخوردار است (Yu Zuo, 2003). خلاصه نتایج تست پاشش نمک بر روی نمونه‌های آندازی‌بینگ شده آلیاژ T6-7075 در جدول 4 آورده شده است. بررسی نتایج تست پاشش نمک بر روی نمونه‌ها نشان داد که با آب بندی نکردن نمونه‌های آندازی شده در هر دو شرایط آندازی (دانسیته جریان های $\frac{A}{dm^2}$ و $\frac{A}{dm^2} 1/6$)، نمونه‌ها در مدت زمان 50 ساعت خورد می‌شوند، بنابراین بر طبق استاندارد مقاوم به خوردگی نیستند. نمونه‌های آندازی و آب بندی شده تحت هر دو شرایط 1 و 2 تا مدت زمان استاندارد یعنی 336 ساعت هیچ‌گونه مشکل خوردگی نداشتند و با ادامه تست پاشش نمک تا مدت زمان 2230 ساعت هم مشکلی برای آنها بوجود نیامد. بنابراین بر طبق استاندارد، با این شرایط آندازی، مقاومت به خوردگی مناسبی دارد.

جدول 4. خلاصه نتایج تست پاشش مه نمک بر روی چهار سری نمونه تست از آلیاژ T6-7075

شرایط آندازی‌بینگ	شرایط آب بندی	میانگین زمان ایجاد 3 حفره بر روی نمونه‌ها در تست پاشش نمک (ساعت)
1	آب بندی شده	تا 2230 ساعت مشاهده نشد.
1	آب بندی نشده	50
2	آب بندی شده	تا 2230 ساعت مشاهده

جدول 6. خلاصه نتایج تست پاشش مه نمک بر روی چهار

سری نمونه تست از آلیاژ T6-6061

شرایط آندایزینگ	شرائط آب بندی	میانگین زمان ایجاد 3 حفره برروی نمونه ها در تست پاشش نمک (ساعت)
1	آب بندی شده	تا 2230 ساعت مشاهده نشد.
1	آب بندی نشده	تا 2230 ساعت مشاهده نشد.
2	آب بندی شده	تا 2230 ساعت مشاهده نشد.
2	آب بندی نشده	تا 2230 ساعت مشاهده نشد.
2	آب بندی شده	تا 2230 ساعت مشاهده نشد.
2	آب بندی نشده	تا 2230 ساعت مشاهده نشد.

خلاصه نتایج تست پاشش نمک بر روی نمونه های آندایزینگ شده آلیاژ H34-5083 در جدول 7 آورده شده است. با توجه به نتایج جدول مشخص است که بر روی تمام نمونه ها تا مدت زمان 336 ساعت هیچ حفره ای تشکیل نشده بود. تحت تمامی شرایط و حالت های آندایزینگ عمر نمونه های آب بندی شده و آب بندی نشده بیشتر از 2230 ساعت بود و تا این مدت زمان که نمونه ها از محفوظه تست پاشش مه نمک خارج شدند هیچ گونه مشکل خوردگی برای آنها بوجود نیامد. نمونه های بدون پوشش این آلیاژ نیز هیچ مشکل خوردگی نداشتند و می توان از این آلیاژ بدون پوشش هم در اتمسفر دریابی استفاده نمود.

جدول 7. خلاصه نتایج تست پاشش مه نمک بر روی چهار

سری نمونه تست از آلیاژ H34-5083

شرایط آندایزینگ	شرائط آب بندی	میانگین زمان ایجاد 3 حفره برروی نمونه ها در تست پاشش نمک (ساعت)
1	آب بندی شده	تا 2230 ساعت مشاهده نشد.
1	آب بندی نشده	تا 2230 ساعت مشاهده نشد.
2	آب بندی شده	تا 2230 ساعت مشاهده نشد.
2	آب بندی نشده	تا 2230 ساعت مشاهده نشد.

بنابراین بهترین شرایط انجام عملیات آندایزینگ آلیاژ T3-2024، عملیات آندایزینگ آب بندی شده

تحت دانسیتۀ جریان $\frac{A}{dm^2}$ 2/6 می باشد.

جدول 5- خلاصه نتایج تست پاشش مه نمک بر روی چهار

سری نمونه تست از آلیاژ T3-2024

شرایط آندایزینگ	شرائط آب بندی	میانگین زمان ایجاد 3 حفره برروی نمونه ها در تست پاشش نمک (ساعت)
1	آب بندی شده	تا 2230 ساعت مشاهده نشد.
1	آب بندی نشده	25
2	آب بندی شده	1330
2	آب بندی نشده	25

خلاصه نتایج تست پاشش نمک بر روی نمونه های آندایزینگ شده آلیاژ T6-6061 در جدول 6 آورده شده است. با بررسی نتایج تست پاشش نمک بر روی نمونه ها مشخص گردید که تمامی نمونه ها تا مدت زمان 336 ساعت (مدت زمان استاندارد تست) مشکلی نداشتند و بنابراین این آلیاژها بعد از آندایزینگ در برابر خوردگی مقاوم هستند.

با ادامه تست پاشش نمک تا مدت زمان 2230 ساعت نیز، تحت هر دو شرایط آندایزینگ، در نمونه های آب بندی شده و آب بندی نشده، مشکلی از لحاظ خوردگی بوجود نیامد و مقاومت به خوردگی نمونه ها با عملیات آندایزینگ افزایش قابل توجهی یافته بود. تست های الکتروشیمیائی که در این زمینه بر روی آلیاژ 6061 انجام شده نیز تایید کنند این مطلب است (Huang, 2008).

Forn, A., Picas, J.A. and Baile, M.T. 2007. Microstructure and tribological properties of anodic oxide layer formed on Al-Si alloy produced by semisolid processing. *Surf. Coat. Tech.* 202: 1139–1143.

Brace, A.W., Sheasby P.G. 1979. The technology of anodizing aluminum. 2nd ed, Technicopy Limited, Stonehouse, p149.

ABS., 2003. Rule requirements for materials and welding, Part 2, Copyright American Bureau of Shipping.

Vargel C., Jacques M., Schmidt M.P., 2004. Corrosion of aluminium, Elsevier Ltd, p 200.

Campestrini P., Westing E.P.M., Wit J.H.W., 2001. Influence of surface preparation on performance of chromate conversion coatings on Alclad 2024 aluminum alloy. Part I: Nucleation and growth. *Elect. Acta.* 46: 2553–2571.

Campestrini, P., Westing, E.P.M., Wit J.H.W. 2001. Influence of surface preparation on performance of chromate conversion coatings on alclad 2024 aluminum alloy. Part I: Nucleation and growth, *Elect. Acta.* 46: 2631–2647.

Wang D., Bierwagen G.P., 2009. Sol-gel coatings on metals for corrosion protection, *Progress in organic coatings.* 64: 327–338.

Andreatta F., Terrya H. 2004. Corrosion behavior of different tempers of AA7075 aluminum alloy. *Elec. Acta.* 49: 2851–2862.

Hintze, P.E., Calle, L.M., 2006. Electrochemical properties and corrosion protection of organosilane self-assembled monolayers on aluminum 2024-T3. *Elec. Acta.* 51:1761–1766.

Huang Y., Shih H., Huang H., Daugherty J., Wub S., Ramanathan S, et al. 2008. Evaluation of the corrosion

4. بحث و نتیجه گیری

با انجام تست پاشش نمک بر روی نمونه‌های بدون پوشش مشخص شد که نمونه آلیاژی 5083 بدون انجام عملیات آندایزینگ هم مقاومت به خوردگی خوبی دارد و می‌توان با اطمینان از این آلیاژ در محیط‌های دریایی و خورنده استفاده نمود. همچنین مشخص شد که نمونه‌های آلیاژی پر استحکام آلومینیوم یعنی 2024 و 7075 مقاومت به خوردگی بسیار پایینی در شرایط محیط‌های دریایی دارند و می‌توان با ایجاد پوشش آندایزینگ و پروسه آب بندی، آنها را دربرابر خوردگی مقاوم کرد. آلیاژ 6061 در شرایط محیط‌های دریایی مقاومت به خوردگی بالاتری نسبت به نمونه‌های 2024 و 7075 دارد ولی این مقدار هم زیر حد استاندارد است و در صورت استفاده از این آلیاژ در محیط‌های دریایی می‌توان با انجام عملیات آندایزینگ، مقاومت به خوردگی مطلوب را ایجاد نمود.

با تست نمونه‌های آندایز شده مشخص شد که آب بندی کردن نمونه‌های آلیاژی 2024 و 7075 ضروری است و نمونه‌های بدون آب بندی از این آلیاژها مقاومت به خوردگی مطلوبی ندارند. در مورد آلیاژ 2024 مشخص شد که تحت انجام عملیات آندایزینگ با دانسیته جریان $\frac{A}{dm^2}$, پس از گذشت 1330 ساعت تعداد 3 حفره ایجاد می‌گردد در حالی که نمونه‌های آندایز شده با دانسیته جریان $\frac{A}{dm^2}$ 2/6 تا مدت زمان 2230 ساعت هم مشکلی ندارند. یعنی اینکه آلیاژ 2024 در دانسیته جریان $\frac{A}{dm^2}$ 2/6 شرایط تشکیل لایه آندی بهتری دارد.

منابع

- Dimogerontakis, T., 1998. Oxygen evolution during the formation of barrier type anodic film on 2024-T3 aluminum alloy. *Corr. Sci.* 40: 1939-1951.
- Horn, V, Kenet, R., 1990. Aluminum Design and Application" American society for metals, Metals Park, Ohio Vol.2, P:250.
- Yu, X., Cao, C., 2003. Electrochemical study of the corrosion behavior of ce sealing of anodized 2024 aluminum alloy. *Thin Sol. Fil.* 423: 252-256.
- Zuo, Y., Zhao, P., Zhao, J., 2003. The influence of sealing methods on corrosion behavior of anodized aluminium alloys in NaCl solutions. *Surf. Coat. Tech.* 166: 237-242.
- Huang, Y., 2008. Evaluation of corrosion resistance of anodized aluminum 6061 using electrochemical impedance spectroscopy. *Corr. Sci.* 50:3569-3575.
- Zhao, J., Xia, L., Sehgal, A., Lu, D., McCreery, R.L., Frankel, G.S., 2001. Effects of chromate and chromate conversion coatings on corrosion of aluminum alloy 2024-T3. *Surf. Coat. Tech.* 140: 51-57.
- resistance of anodized aluminum 6061 using electrochemical impedance spectroscopy (EIS). *Corr. Sci.* 50: 3569-3575.
- Hsing-Hsiang, S., Shiang-Lin, T, 2000. Study of anodic oxidation of aluminum in mixed acid using a pulsed current, *Surf. & Coat. Tech.* 124, Pp: 278-285.
- Davis, J.R., 1999. Corrosion of aluminum and aluminum alloys, ASM International, Materials Park, p25.
- Deluccia, J.J., 1993. Aircraft materials for corrosion prevention and control: A qualified products list. Report No. NAWCADWAR-94099-60.
- Cutler J and Liber J, 2005. Understanding aircraft structures, Black Well Publishing.
- Voevodin, N., Jeffcoate, C., Simon, L., Khobaib, M, Donley, M., 2001. Characterization of pitting corrosion in bare and sol-gel coated aluminum 2024-T3 alloy. *Surf. Coat. Tech.* 140: 29-34.
- Petroiannis P.V., Pantelakis G., Haidemenopoulos G.N., 2005. Protective role of local Al cladding against corrosion damage and hydrogen embrittlement of 2024 aluminum alloy specimens. *Theo. App. Fra. Mech.* 44: 70-81.
- Twite, R.L., Bierwagen, G.P., 1998. Review of alternatives to chromate for corrosion protection of aluminum aerospace alloys. *Prog. in Org. Coat.* 33: 91-100.
- Sun S, Zheng Q, Li D, Wen J, 2009. Long-term atmospheric corrosion behavior of aluminum alloys 2024 and 7075 in urban, coastal and industrial environments. *Corr. Sci.* 51: 719-727.
- Aerts, T., Dimogerontakis, T., 2007. Influence of the anodizing temperature on the porosity and the mechanical properties of the porous anodic oxide film. *Surf. Coat. Tech.* 201:7310-7317.